

Krutovit a sprievodné minerály z lokality Dobšiná-Teliatko (Slovenská republika)

Krutovite and associated minerals from the Dobšiná-Teliatko occurrence (Slovak Republic)

MARTIN ŠTEVKO¹⁾, JIŘÍ SEJKORA²⁾, JIŘÍ LITOCHLEB²⁾,IVO MACEK²⁾ A PETER BAČÍK¹⁾

¹⁾ Katedra mineralogie a petrologie, Prírodovedecká fakulta, Univerzita Komenského, Mlynská dolina G,
842 15 Bratislava, Slovenská republika; *e-mail: stevko@fns.uniba.sk

²⁾ Mineralogicko-petrologické oddělení, Národní muzeum, Cirkusová 1740, 193 00 Praha 9 - Horní Počernice

ŠTEVKO M., SEJKORA J., LITOCHLEB J., MACEK I., BAČÍK P. (2013) Krutovit a sprievodné minerály z lokality Dobšiná-Teliatko (Slovenská republika). *Bull. mineral.-petrolog. Odd. Nár. Muz. (Praha)* 21, 1, 1-14. ISSN 1211-0329.

Abstract

An interesting hydrothermal ore mineralization with krutovite has been found in the abandoned serpentinite-asbestos quarry near Dobšiná, Slovak Republic. It is represented by a lenticular nearly subhorizontal vein which is up to 15 cm thick and more than 2 m long and was developed on the contact between the serpentinite breccias and limestones. Quartz and calcite are the main gangue minerals. The most abundant ore mineral is nickeline which is associated with krutovite and galena. Primary ore minerals are often replaced by aggregates of bright green supergene Ni-silicates and mimetite. Krutovite forms metallic, greyish-white individual grains and botryoidal aggregates up to 5 mm in quartz-Ni-silicate mass or microscopic zones in aggregates of older nickeline. Its refined unit-cell parameters are: $a = 5.8131(8)$ Å and $V = 196.43(9)$ Å³. The chemical composition of krutovite from Dobšiná is close to the end member formula and only minor amounts of Cu (up to 0.009 apfu), Hg (up to 0.002 apfu), Sb (up to 0.004 apfu), S (up to 0.047 apfu) and Se (up to 0.014 apfu) were detected. Nickeline occurs as metallic, copper-red irregular grains and aggregates up to 2 cm or veinlets up to 8 cm long and 1 cm thick which are embed in quartz-calcite gangue and are often heavily replaced by supergene green Ni-silicates. Its refined unit-cell parameters are: $a = 3.6177(2)$ Å, $c = 5.0404(3)$ Å and $V = 57.129(8)$ Å³ and it shows mostly uniform chemical composition with only low contents of Se (up to 0.005 apfu) and S (up to 0.048 apfu). Rarely also microscopic aggregates of unusual S-rich nickeline (up to 0.217 apfu S) or Ni-deficient disordered nickeline were observed together with krutovite. These phases may represent nickeline with the submicroscopic (under the 0.1 µm) inclusions of krutovite or products of diffusion of krutovite to the older nickeline during the replacement. Galena is common mineral in studied association and it forms irregular aggregates or veinlets up to 1 cm. It is often strongly replaced by mimetite or anglesite so its relationship to the nickeline and krutovite is unclear. The chemical composition of galena from Dobšiná is rather simple and only minor amounts of Sb, As, Bi and Se were detected.

Key words: krutovite, nickeline, galena, chemical composition, X-ray powder data, Dobšiná, Western Carpathians, Slovak Republic

Obdrženo: 3. června 2013; přijato: 15. července 2013

Úvod

Krutovit je zriedkavou, kubickou polymorfnou modifikáciou NiAs_2 . Prvýkrát bol opísaný zo žily Geschieber na hydrotermálnom Ag+As+Co+Ni+Bi+U ložisku Jáchymov v Českej republike. Vyskytuje sa tu v asociácii s nikelskutteruditom, löllingitom, chalkopyritom, pyritom, sfaleritom a tennantitom (Vinogradova et al. 1976; Ondruš et al. 2003). Ďalšou lokalitou krutovitu je žilné Ni-Co ložisko Khovu-Aksy v Rusku, kde bol zistený v asociácii spolu s nikelínom, nikelskutteruditom, breithauptitom, löllingitom, rammelsbergitom, pararammelsbergitom a striebrom (Vinogradova et al. 1978). Spiridonov a Čvileva (1996) potvrdili na vzorkách z U-Mo ložiska Manybay v Kazachstane existenciu kompletného tuhého roztoru medzi krutovitom a gersdorffitom. Krutovit bol identifikovaný aj na Ag-Co ložisku Bou Azzer v Maroku (Vinogradova et al. 1999; Gerville et al. 2012), Co-Cu ložisku Iškinino (Zaikov, Melekestseva 2006; Nimis et al. 2008), karbonátových žilách Norilského rudného poľa (Gritsenko, Spiridonov 2006),

Ag-U-Ni ložisku Belorechenskoye v Rusku (Pekov et al. 2010) a na lokalite Grand-Praz pri Ayer vo Švajčiarsku (Ansermet, Meisser 2012).

Na území Slovenskej republiky bol krutovit doteraz identifikovaný vo forme mikroskopických agregátov asociácií spolu s gersdorffitom na sideritových žilách s Ni-Co mineralizáciou v Dobšinej (Chovan 1995; Chovan, Ozdín 2003) a v asociácii s galenitom, arzenopyritom a tetradedritom na lokalite Vyšná Boca-Bruchatý grúnik v Nízkych Tatrách (Ozdín, Chovan 1999).

Tento príspevok je venovaný mineralogickej charakteristike krutovitu a asociujúcich sulfidických minerálov, ktoré boli zistené v kremeňovo-karbonátovej žile v opusťtenom serpentinitovom lome na lokalite Dobšiná-Teliatko.

Charakteristika lokality

Študovaná asociácia rudných minerálov bola zistená v opusťtenom povrchovom lome na azbest, ktorý sa nachádza priamo nad mestom Dobšiná, na južnom svahu



Obr. 1 Miesto s výskytom kremeňovo-karbonátovej žily s rudnou mineralizáciou (na obrázku vyznačené bielou elipsou). Foto M. Števko, 2010.



Obr. 2 Pohľad na čiatsočne odkrytú kremeňovo-karbonátovú žilu s nápadnými zhukmi supergénnych sýtozelených Ni-silikátov, ktoré obsahujú relikty pôvodnej sulfidickej mineralizácie. Foto M. Števko, 2010.



Obr. 3 Nepravidelné až kolomorfné agregáty krutovitu (sivobiele) v kremeni, intenzívne zatláčané masou supergénnych Ni-silikátov. Šírka záberu je 12 mm. Foto M. Števko.

pahorku známeho ako Teliatko (Kálbl). Ťažba v lome bola ukončená v roku 1998 a v roku 2010 bola značná časť lomu zrekultivovaná a prebudovaná na slnečnú fotovoltaickú elektráreň.

Lomom bolo odkryté šošovkovité teleso intenzívne serpentinizovaných ultrabázických hornín, ktoré má v pôdoryse oválny tvar, rozmery 700 x 500 m a hrúbku max. 45 m. Teleso serpentinitov je výrazne tektonicky porušené a rozdelené do viacerých šošoviek (Hovorka et al. 1985). Serpentinizované harzburgitové peridotity majú tmavozelenú, sivozelenú až žltozelenú farbu a sú dominantne zložené z antigoritu, lizarditu, chryzotilu a chloritu s reliktami magmatického olívínu, ortopyroxénu, klinopyroxénu, Cr-spinelov a magnetitu. V puklinách serpentinitov sú časté žilky chryzotilového azbestu a agregáty andraditu (Fediuková et al. 1976; Rojkoč et al. 1978; Hovorka et al. 1980, 1985; Mikuš, Spišiak 2007; Putiš et al. 2012). Z rudných minerálov bol v serpentinitoch zistený awaruit, heazlewoodit, millerit a pentlandit (Kantor 1955). V jadrach serpentinizovaných až rodingitizovaných harzburgitov boli identifikované aj perovskit, Ti-andradit a pyrofanit, ktorých vznik súvisí s procesom serpentinizácie (Putiš et al. 2012). Bezprostredné okolie serpentinitovej šošovky tvoria sericitické a karbonátovo-sericitické fily, mramory, metakonglomeráty, modré bridlice, tektonické brekcie, sienitné vápence a bunkovité dolomity, ktoré spolu s vlastným telesom predstavujú jurskú tektonickú meliánsku Meliatskej tektonickej jednotky resp. príkrovu Bôrky nasunutú na paleozoické formácie Gemerika (Kamenický 1957; Zlocha, Hovorka 1971; Jaroš et al. 1981; Hovorka et al. 1985; Mello et al. 2000; Ivan 2002; Ivan, Méres 2009; Putiš et al. 2012).

Výskyt hydrotermálnych kremeňovo-chalcedónovo-karbonátových žíl s mikroskopickou sulfidickou mineralizáciou (pyrit, chalkopyrit, galenit, nikelín) uvádzajú aj z abstového lomu prvýkrát Ďuďa (1990). Ďuďa a Peterec (1992) identifikovali v žilach so sulfidickou mineralizáciou aj supergénne minerály (mimetit, anglesit, georgiadésit?), ktoré vznikli dekompozíciou galenitu. Bližejšej charakteristike SiO_2 fáz z hydrotermálnych žíl v serpentinitoch sa venovali Ozdin a Števko (2010).

Študované vzorky s krutovitom, galenitom a nikelínom boli odobrané (MŠ) z kremeňovo-kalcitovej žily s bohatou sulfidickou a supergénou mineralizáciou, ktorá bola odkrytá v roku 2010 pri rekultivácii a terénnych úpravách v severovýchodnej, vrcholovej časti lomu (obr. 1). Šošovkovitá, takmer subhorizontálne uložená žila s priemernou mocnosťou 7 cm (max. až 15 cm) a dĺžkou ~ 2 m bola vy-

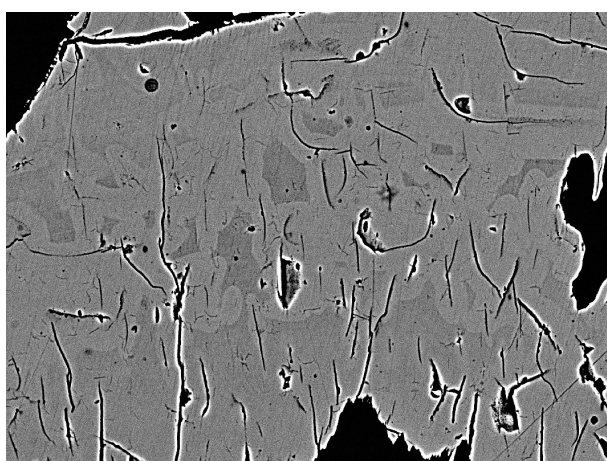
vinutá na kontakte serpentinitových brekcií a sivočiernych až čiernych vápencov (obr. 2). Vplyvom intenzívnych supergénnych procesov boli pôvodné rudné minerály, najmä nikelín a krutovit intenzívne zatlačené sýtozelenými až smaragdovozelenými masívnymi agregáti bližšie neidentifikovaných supergénnych Ni-silikátov. Hojný bol výskyt bielych, žltých, oranžových až červených kryštaličkých aggregátov a kôr mimetitu, ktoré sa vyskytovali nie len v zvetranej žilovine ale aj v puklinách podložných vápencov v asociácii spolu s aragonitom.

Metodika výskumu

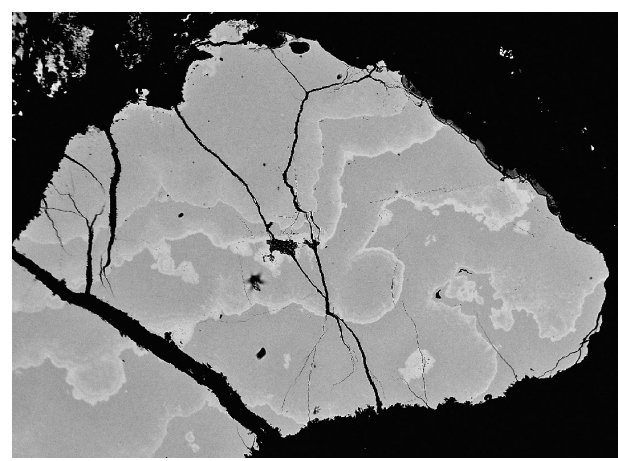
Nábrusy študovaných vzoriek boli pre výskum v odrazenom svetle a následné chemické analýzy pripravené štandardným leštením pomocou diamantovej suspenzie. Optické vlastnosti minerálov v odrazenom svetle boli študované pomocou mikroskopu Nikon Eclipse ME600 (Národní muzeum, Praha).

Chemické zloženie minerálnych fáz bolo kvantitatívne študované pomocou elektrónového mikroanalýzátora Cameca SX100 (Národní muzeum, Praha, analytik I. Macek a J. Sejkora) za podmienok: WD analýza, 25 kV, 20 nA, priemer elektrónového lúča 0.7 μm , použité štandardy: Ag (AgL α), Bi (BiM β), Co (CoKa), CuFeS₂ (CuKa), FeS₂ (FeKa, SKa), HgTe (HgM β), NiAs (NiKa, AsL β), PbS (PbM α), PbSe (SeL β) a Sb₂S₃ (SbL α). Obsahy vyššie uvedených prvkov, ktoré nie sú zahrnuté v tabuľkách, boli kvantitatívne analyzované, ale zistené obsahy boli pod detekčným limitom (cca 0.01 - 0.04 hm. % pre jednotlivé prvky). Získané údaje boli korigované za použitia softvéru PAP (Pouchou, Pichoir 1985). Celkovo bolo zmeraných viac ako 400 jednotlivých bodových analýz.

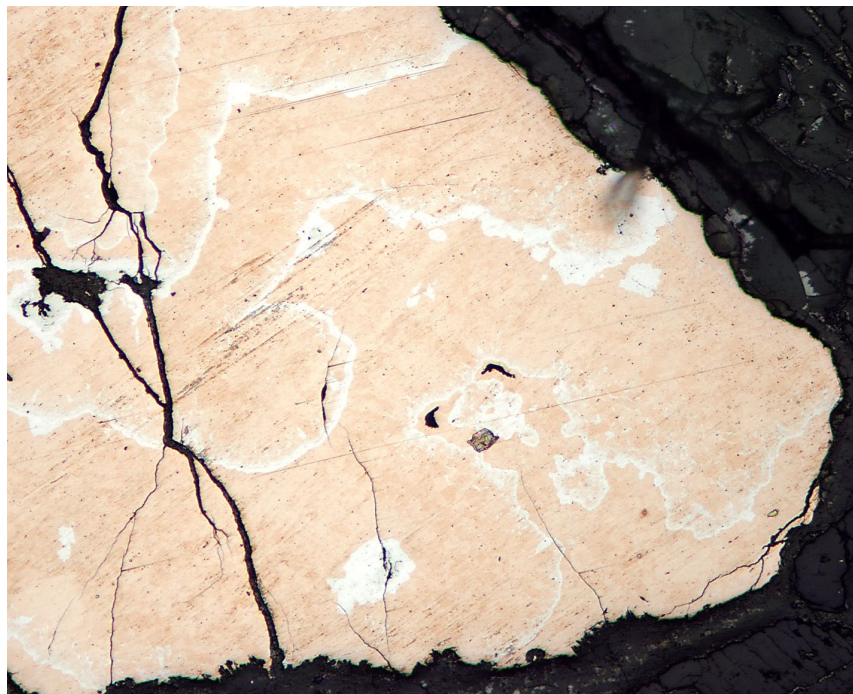
Röntgenové práškové difrákčné údaje krutovitu a nikelínu boli získané pomocou práškového difraktometra Bruker D8 Advance (Katedra mineralogie a petrológia, PriF UK, Bratislava) s polovodičovým pozične citlivým detektorem LynxEye s využitím CuKa žiarenia za nasledovných podmienok: napätie 40 kV, prúd 40 mA, krok 0.01° 2θ, čas 3 s/krok. Pripravené práškové preparáty boli pre zníženie pozadia záznamu nanesené v acetónovej suspenzii na nosiče zhotovené z monokryštálu Si. Získané difrákčné údaje boli vyhodnotené pomocou softvéru Bruker DIFFRAC^{plus} EVA. Mriežkové parametre študovaných fáz boli vypočítané a spresnené Rietveldovou metódou pomocou programu Bruker DIFFRAC^{plus} TOPAS s využitím profilovej funkcie Pearson VII.



Obr. 4 Ostro ohraničené inkluzie Sb-bohatšieho krutovitu (tmavšie) v homogénnom krutovite (svetlejšie), Dobšiná. Šírka obrázku 200 μm , BSE foto J. Sejkora.



Obr. 5 Krutovit (svetlejší) pozdĺž hraníc kolomorfných aggregátov zatláča starší nikelín (tmavší), Dobšiná. Šírka obrázku 1.8 mm, BSE foto J. Sejkora.



Obr. 6 Krutovit (svetlosivý) zatláča starší nikelín (oranžový) pozdĺž hraníc kolo-morfínych agregátov, Dobšiná. Šírka obrázku 1.1 mm, foto v odrazenom svetle (1 nikol) J. Sejkora.



Obr. 7 Krutovit (svetlosivý) preniká do nikelínu (oranžový) pozdĺž hranice kolo-morfínych agregátov a vo forme mikroskopických až submikroskopických zŕn preniká aj do okolného nikelínu, Dobšiná. Šírka obrázku 200 µm, foto v odrazenom svetle (čiastočne skrižené nikoly) J. Sejkora.

Tabuľka 1 Röntgenové práškové údaje krutovitu z Dobšinej

<i>h</i>	<i>k</i>	<i>l</i>	<i>d</i> _{obs.}	<i>I</i> _{obs.}	<i>d</i> _{tab.}	<i>I</i> _{tab.}
0	0	2	2.9066	22	2.8850	35
0	2	1	2.5997	100	2.5804	100
2	1	1	2.3732	76	2.3556	81
0	2	2	2.0552	15	2.0400	18
3	1	1	1.7527	57	1.7397	69
2	2	2	1.6781	13	1.6657	6
3	0	2	1.6123	63	1.6003	27
2	3	1	1.5536	58	1.5421	25
3	2	1	1.5536	58	1.5421	15

Mineralogická charakteristika rudných fáz

Krutovit

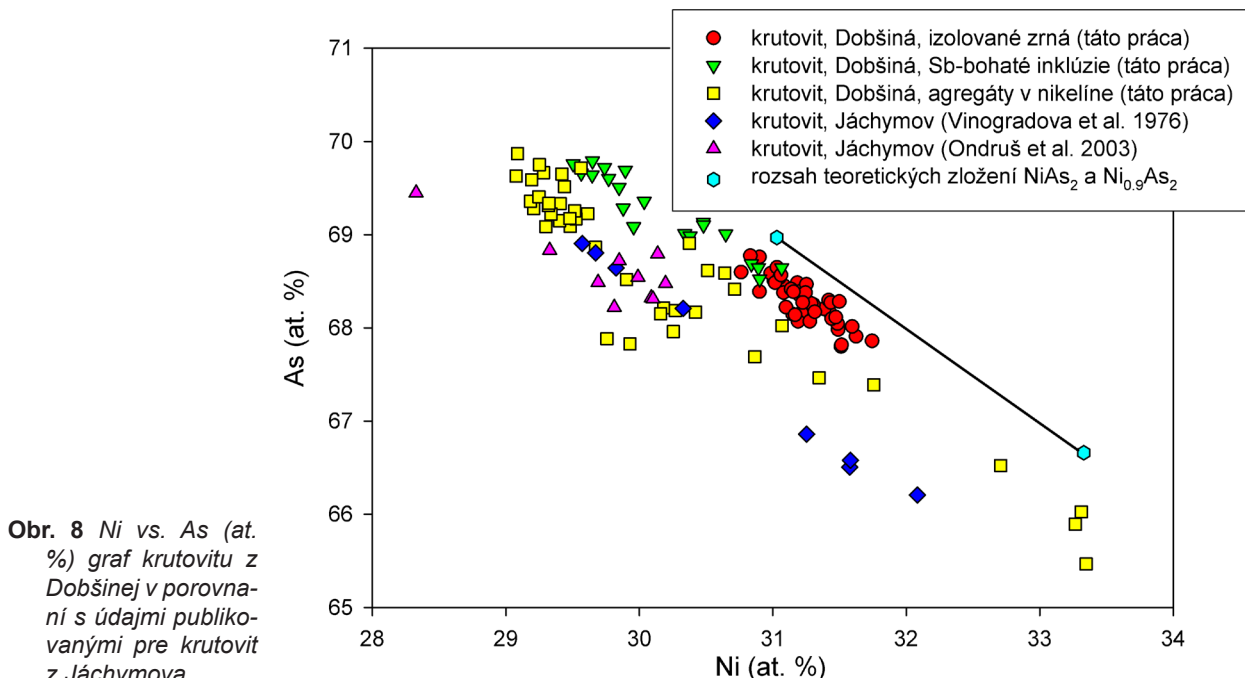
Krutovit bol zistený relatívne vzácne v podobe až 5 mm veľkých, sivo-bielych zrnitých až kolomorfných agregátov s kovovým leskom (obr. 3), ktoré sú zarastené v podobe reliktov priamo v masívnych agregátoch supergénnych sýtozelených až smaragdovo-zelených Ni-silikátov alebo na ich kontakte s kremeňom. V BSE obraze je krutovit prevažne homogénny bez náznaku akejkoľvek zonality a len úplne výnimočne (dve zrná) boli v krutovite zistené ostro ohraničené inklúzie s veľkosťou do 50 µm tvorené Sb-bohatším krutovitom (obr. 4). Zriedkavejšie krutovit tvorí súčasť niektorých agregátov nikelínu, pričom krutovit zreteľne zatláča starší nikelín po hraniciach kolomorfných agregátov (obr. 5 - 6) a difunduje do okolného nikelínu vo forme mikroskopických až submikroskopických zŕn (obr. 7). V odrazenom svetle má krutovit bielu až bielosivú farbu, vysokú odraznosť a je izotropný.

Röntgenové práškové údaje homogenných zrn krutovitu z Dobšinej (tab. 1) sú v dobrej zhode s údajmi publikovanými pre túto minerálnu fázu ako aj s teoretickým záznamom, ktorý bol vypočítaný zo štruktúrnych dát, ktoré publikoval Munson (1968) pre synteticky pripravený kubický polymorf NiAs₂. Spresnené mriežkové parametre krutovitu z Dobšinej sú v tabuľke 2 porovnané s publikovanými údajmi pre tento minerálny druh.

Chemické zloženie krutovitu z Dobšinej (obr. 8) zodpovedá idealizovanému vzorcu Ni_{1-x}As₂ publikovanému pre tento minerálny druh; Vinogradova et al. (1976) uvádzajú pre krutovit z Jáchymova hodnoty *x* v rozsahu 0 až 0.10; z analýz Ondruša et al. (2003) vyplýva rozsah 0.07 - 0.13. Homogénne zrná krutovitu z Dobšinej (tab. 3) v porovnaní s krutovitom z Jáchymova neobsahujú Co a Fe a obsahy Cu sú tiež zreteľne nižšie (obr. 9). Hodnoty *x* vzorca Ni_{1-x}As₂ sa pohybujú v rozmedzí 0.06 - 0.10. Zistené obsahy S sú veľmi nízke a zodpovedajú údajom pre krutovit z Jáchymova (obr. 10). Pozoruhodné sú nepravidelné minoritné obsahy Hg (do 0.19 hm. %) a Se (do 0.53 hm. %). Vzácne, mikroskopické inklúzie Sb-bohatšej fázy (tab. 4) sa od homogénneho

Tabuľka 2 Mriežkové parametre krutovitu z Dobšinej (indexované v kubickej priestorovej grupe Pa3) a ich porovnanie s publikovanými údajmi

lokalita	citácia	a (Å)	V (Å ³)
Dobšiná	táto práca	5.8131(8)	196.43(9)
syntetický	Munson (1968)	5.77	192.1
Jáchymov, ČR - vzorka 1	Vinogradova et al. (1976)	5.794	194.5071
Jáchymov, ČR - vzorka 2	Vinogradova et al. (1976)	5.786	193.7025
Jáchymov, ČR - vzorka 336	Ondruš et al. (2003)	5.794	194.5071
Jáchymov, ČR - vzorka JA-62	Ondruš et al. (2003)	5.7983(1)	194.9405



Obr. 8 Ni vs. As (at. %) graf krutovitu z Dobšinej v porovnaní s údajmi publikovanými pre krutovit z Jáchymova.

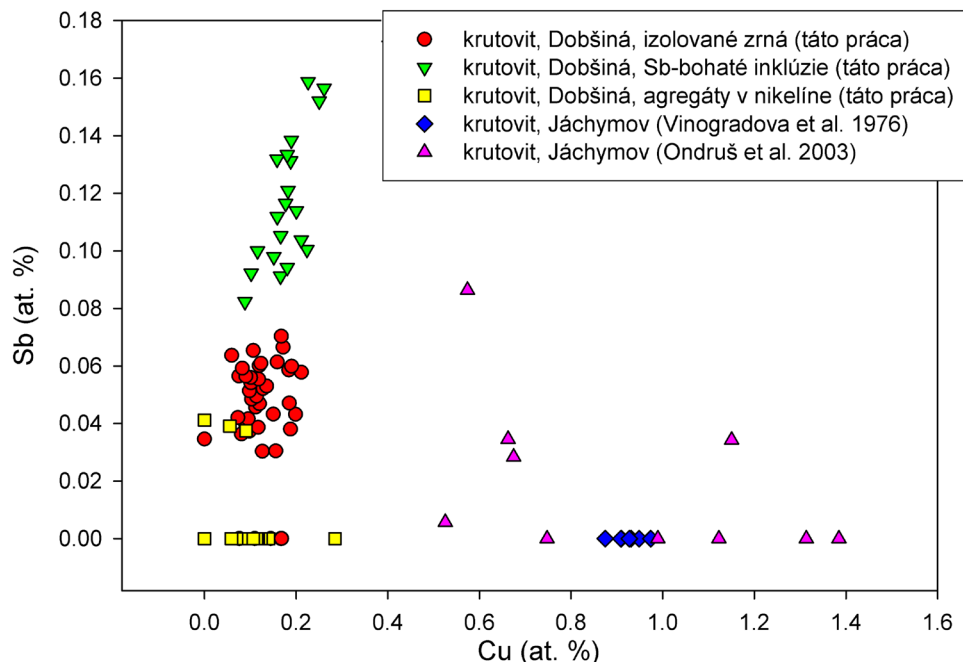
Tabuľka 3 Reprezentatívne chemické analýzy izolovaných homogénnych zŕn krutovitu z Dobšinej (hm. %)

Ag	0.00	0.12	0.00	0.00	0.00	0.08	0.00	0.00	0.00	0.00	0.00	0.00	0.00	0.00	0.00
Pb	0.00	0.10	0.00	0.00	0.11	0.00	0.21	0.00	0.00	0.00	0.00	0.00	0.00	0.00	0.00
Ni	26.49	26.51	26.40	26.37	26.41	26.52	25.99	26.02	26.19	26.15	26.20	25.99	25.88	25.80	
Hg	0.17	0.00	0.06	0.00	0.19	0.00	0.00	0.15	0.10	0.00	0.00	0.05	0.07	0.00	
Cu	0.12	0.12	0.14	0.15	0.15	0.13	0.11	0.19	0.17	0.07	0.09	0.11	0.11	0.07	
Sb	0.09	0.05	0.05	0.00	0.12	0.00	0.08	0.10	0.08	0.10	0.07	0.10	0.11	0.00	
Bi	0.00	0.15	0.00	0.00	0.00	0.05	0.00	0.00	0.00	0.00	0.00	0.00	0.00	0.00	
As	72.58	73.02	72.81	72.98	73.38	73.56	72.37	72.61	73.22	73.11	73.42	72.74	73.66	72.88	
Se	0.00	0.00	0.12	0.00	0.00	0.00	0.27	0.22	0.00	0.00	0.00	0.35	0.00	0.53	
S	0.098	0.095	0.072	0.108	0.077	0.054	0.09	0.078	0.081	0.066	0.088	0.079	0.084	0.072	
total	99.55	100.17	99.65	99.60	100.44	100.32	99.20	99.37	99.84	99.49	99.86	99.41	99.91	99.35	
Ag	0.000	0.002	0.000	0.000	0.000	0.001	0.000	0.000	0.000	0.000	0.000	0.000	0.000	0.000	
Pb	0.000	0.001	0.000	0.000	0.001	0.000	0.002	0.000	0.000	0.000	0.000	0.000	0.000	0.000	
Ni	0.928	0.923	0.922	0.919	0.915	0.918	0.910	0.909	0.910	0.910	0.908	0.905	0.893	0.895	
Hg	0.002	0.000	0.001	0.000	0.002	0.000	0.000	0.001	0.001	0.000	0.000	0.001	0.001	0.000	
Cu	0.004	0.004	0.005	0.005	0.004	0.003	0.006	0.005	0.002	0.003	0.003	0.004	0.002	0.002	
Σ Me	0.933	0.929	0.927	0.924	0.923	0.922	0.917	0.917	0.916	0.912	0.911	0.908	0.898	0.898	
x	0.067	0.071	0.073	0.076	0.077	0.078	0.083	0.083	0.084	0.088	0.089	0.092	0.102	0.102	
Sb	0.002	0.001	0.001	0.000	0.002	0.000	0.001	0.002	0.001	0.002	0.001	0.002	0.002	0.000	
Bi	0.000	0.001	0.000	0.000	0.000	0.001	0.000	0.000	0.000	0.000	0.000	0.000	0.000	0.000	
As	1.992	1.992	1.991	1.993	1.993	1.996	1.986	1.988	1.993	1.994	1.993	1.984	1.993	1.982	
Se	0.000	0.000	0.003	0.000	0.000	0.000	0.007	0.006	0.000	0.000	0.000	0.009	0.000	0.014	
S	0.006	0.006	0.005	0.007	0.005	0.003	0.006	0.005	0.005	0.004	0.006	0.005	0.005	0.005	
Σ An	2.000	2.000	2.000	2.000	2.000	2.000	2.000	2.000	2.000	2.000	2.000	2.000	2.000	2.000	

Koeficienty empirického vzorca vypočítané na báze Sb+Bi+As+Se+S = 2 apfu.

krutovitu odlišujú vyššími obsahmi Sb (do 0.27 hm. %) a súčasne nižšími obsahmi Ni a vyššími obsahmi As (obr. 8 - 9). Hodnoty x vzorca $\text{Ni}_{1-x}\text{As}_2$ sa pre Sb-krutovit pohybujú v rozmedzí 0.09 - 0.15. Zistené obsahy S sú veľmi nízke a sú v zhode s údajmi publikovanými pre krutovit z Jáchymova (obr. 10). Pre krutovit, ktorý sa vyskytuje v

agregátoch nikelínu (tab. 5) sú v porovnaní s ostatnými typmi charakteristické mierne zvýšené obsahy Co (0.05 - 0.38 hm. %) a zretele zvýšené obsahy S (obr. 10). Hodnoty x idealizovaného vzorca $\text{Ni}_{1-x}\text{As}_2$ sa pohybujú v rozsahu -0.02 až +0.17.

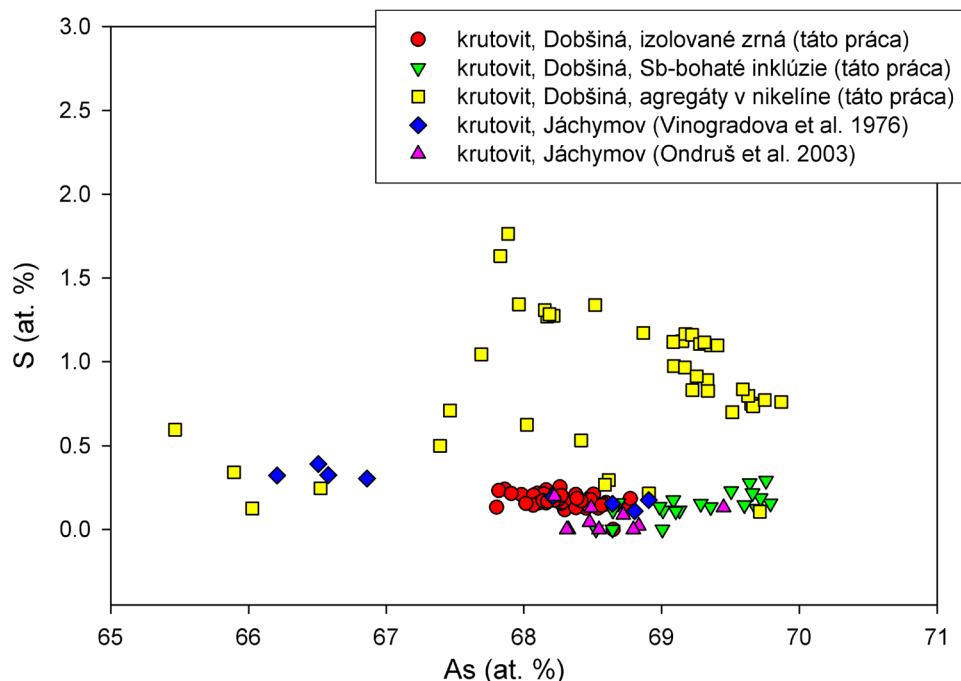


Obr. 9 Cu vs. Sb (at. %) graf pre krutovit; zrejmé sú výrazne nižšie obsahy Cu vo všetkých typoch krutovitu z Dobšinej v porovnaní s publikovanými údajmi z Jáchymova.

Tabuľka 4 Reprezentatívne chemické analýzy Sb-bohatších inkluzií krutovitu z Dobšinej (hm. %)

Ag	0.00	0.00	0.00	0.00	0.00	0.00	0.00	0.00	0.00	0.00	0.00	0.06	0.00
Pb	0.10	0.13	0.09	0.10	0.12	0.00	0.06	0.08	0.14	0.13	0.00	0.09	0.07
Ni	26.01	25.94	25.93	25.83	25.64	25.52	25.34	25.09	24.83	24.98	24.93	24.73	24.76
Hg	0.00	0.00	0.17	0.00	0.00	0.00	0.06	0.00	0.09	0.00	0.00	0.00	0.00
Cu	0.14	0.16	0.11	0.08	0.09	0.17	0.18	0.15	0.19	0.16	0.14	0.23	0.16
Sb	0.17	0.16	0.17	0.14	0.16	0.21	0.20	0.16	0.18	0.20	0.23	0.26	0.23
Bi	0.00	0.08	0.00	0.00	0.00	0.00	0.00	0.00	0.05	0.00	0.00	0.00	0.00
As	73.33	73.56	73.38	73.40	73.67	73.83	73.44	73.93	73.78	73.93	74.17	74.15	74.37
Se	0.00	0.00	0.30	0.12	0.12	0.00	0.16	0.21	0.00	0.39	0.00	0.00	0.00
S	0.00	0.05	0.00	0.07	0.00	0.05	0.06	0.06	0.10	0.07	0.06	0.13	0.07
total	99.75	100.08	100.15	99.75	99.80	99.77	99.50	99.68	99.36	99.86	99.52	99.59	99.79
Ag	0.000	0.000	0.000	0.000	0.000	0.000	0.000	0.000	0.000	0.000	0.000	0.001	0.000
Pb	0.001	0.001	0.001	0.001	0.001	0.000	0.001	0.001	0.001	0.000	0.001	0.001	0.001
Ni	0.904	0.897	0.897	0.893	0.886	0.879	0.876	0.861	0.855	0.855	0.855	0.846	0.846
Hg	0.000	0.000	0.002	0.000	0.000	0.000	0.001	0.000	0.001	0.000	0.000	0.001	0.000
Cu	0.004	0.005	0.003	0.003	0.003	0.005	0.006	0.005	0.006	0.005	0.005	0.007	0.005
Σ Me	0.909	0.903	0.903	0.897	0.890	0.884	0.883	0.867	0.863	0.861	0.859	0.854	0.854
x	0.091	0.097	0.097	0.103	0.110	0.116	0.117	0.133	0.137	0.139	0.141	0.146	0.146
Sb	0.003	0.003	0.003	0.002	0.003	0.003	0.003	0.003	0.003	0.004	0.004	0.004	0.004
Bi	0.000	0.001	0.000	0.000	0.000	0.000	0.000	0.001	0.000	0.000	0.000	0.000	0.000
As	1.997	1.993	1.989	1.990	1.994	1.993	1.989	1.988	1.990	1.982	1.993	1.988	1.992
Se	0.000	0.000	0.008	0.003	0.003	0.000	0.004	0.005	0.000	0.010	0.000	0.000	0.000
S	0.000	0.003	0.000	0.005	0.000	0.003	0.004	0.004	0.007	0.004	0.004	0.008	0.004
Σ An	2.000	2.000	2.000	2.000	2.000	2.000	2.000	2.000	2.000	2.000	2.000	2.000	2.000

Koeficienty empirického vzorca vypočítané na báze $\text{Sb}+\text{Bi}+\text{As}+\text{Se}+\text{S} = 2 \text{ apfu}$.



Obr. 10 As vs. S (at. %) graf krutovitu z Dobšinej v porovnaní s údajmi publikovanými pre krutovit z Jáchymova.

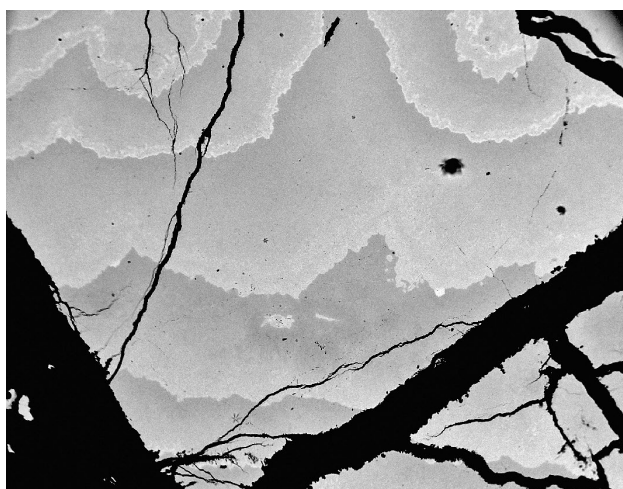
Tabuľka 5 Reprezentatívne chemické analýzy agregátov krutovitu v nikelíne z Dobšinej (hm. %)

Ag	0.00	0.00	0.00	0.05	0.06	0.00	0.00	0.00	0.00	0.00	0.00	0.00	0.09	0.00
Pb	0.05	0.06	0.12	0.00	0.08	0.00	0.00	0.00	0.00	0.15	0.08	0.00	0.00	0.00
Ni	28.22	28.18	26.69	26.16	25.59	25.40	25.12	25.21	24.84	24.65	24.62	24.60	24.51	24.27
Co	0.38	0.18	0.14	0.09	0.09	0.07	0.05	0.09	0.09	0.10	0.10	0.09	0.09	0.10
Hg	0.00	0.00	0.14	0.00	0.00	0.00	0.06	0.00	0.00	0.05	0.00	0.00	0.00	0.09
Cu	0.00	0.26	0.09	0.09	0.10	0.00	0.06	0.00	0.05	0.05	0.07	0.06	0.07	0.00
Sb	0.00	0.00	0.00	0.00	0.00	0.07	0.00	0.00	0.07	0.00	0.00	0.00	0.00	0.00
Bi	0.00	0.00	0.00	0.00	0.00	0.00	0.00	0.00	0.15	0.05	0.00	0.00	0.00	0.00
As	71.39	71.23	73.31	73.22	74.10	73.26	72.65	73.73	74.10	74.28	74.07	74.22	74.57	74.41
Se	0.00	0.00	0.16	0.20	0.27	0.29	0.54	0.16	0.10	0.11	0.18	0.40	0.00	0.16
S	0.06	0.16	0.33	0.48	0.10	0.60	0.75	0.62	0.38	0.32	0.41	0.38	0.35	0.35
total	100.10	100.07	100.98	100.30	100.39	99.70	99.23	99.81	99.78	99.76	99.52	99.74	99.67	99.38
Ag	0.000	0.000	0.000	0.001	0.001	0.000	0.000	0.000	0.000	0.000	0.000	0.000	0.002	0.000
Pb	0.001	0.001	0.001	0.000	0.001	0.000	0.000	0.000	0.000	0.001	0.001	0.000	0.000	0.000
Ni	1.007	1.005	0.918	0.896	0.876	0.865	0.856	0.854	0.843	0.837	0.836	0.832	0.830	0.822
Co	0.012	0.006	0.004	0.003	0.003	0.002	0.001	0.003	0.003	0.003	0.003	0.003	0.003	0.003
Hg	0.000	0.000	0.001	0.000	0.000	0.000	0.001	0.000	0.000	0.001	0.000	0.000	0.000	0.001
Cu	0.000	0.009	0.003	0.003	0.003	0.000	0.002	0.000	0.002	0.002	0.002	0.002	0.002	0.000
Σ Me	1.020	1.020	0.928	0.902	0.883	0.867	0.860	0.857	0.848	0.844	0.842	0.836	0.836	0.826
x	-0.020	-0.020	0.072	0.098	0.117	0.133	0.140	0.143	0.152	0.156	0.158	0.164	0.164	0.174
Sb	0.000	0.000	0.000	0.000	0.000	0.001	0.000	0.000	0.001	0.000	0.000	0.000	0.000	0.000
Bi	0.000	0.000	0.000	0.000	0.000	0.000	0.000	0.000	0.001	0.001	0.000	0.000	0.000	0.000
As	1.996	1.990	1.975	1.965	1.987	1.954	1.940	1.958	1.971	1.977	1.970	1.967	1.978	1.974
Se	0.000	0.000	0.004	0.005	0.007	0.007	0.014	0.004	0.002	0.003	0.005	0.010	0.000	0.004
S	0.004	0.010	0.021	0.030	0.006	0.038	0.047	0.038	0.024	0.020	0.025	0.023	0.022	0.022
Σ An	2.000	2.000	2.000	2.000	2.000	2.000	2.000	2.000	2.000	2.000	2.000	2.000	2.000	2.000

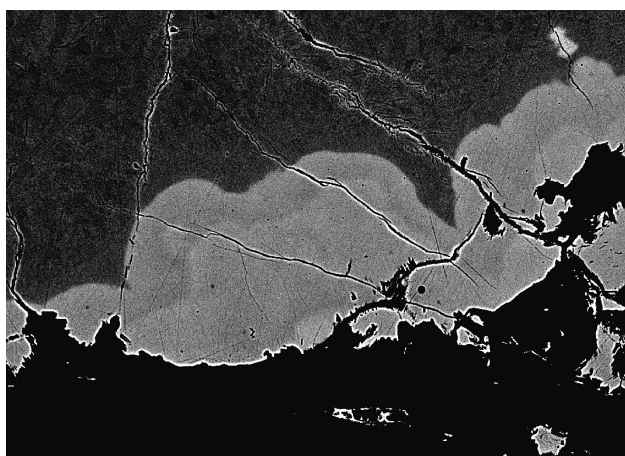
Koeficienty empirického vzorca vypočítané na báze $Sb+Bi+As+Se+S = 2 \text{ apfu}$.



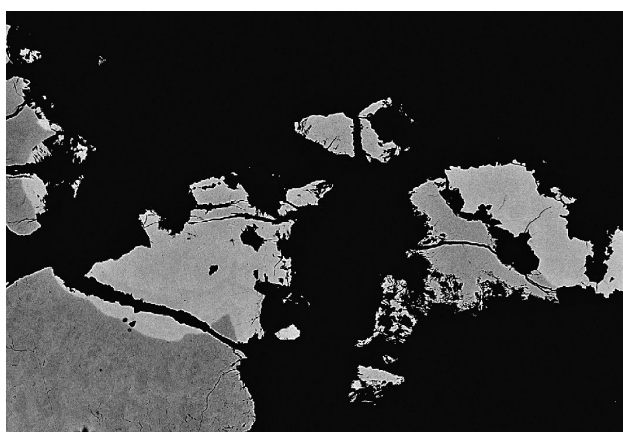
Obr. 11 Agregáty nikelínu v asociácii spolu s galenitom a supergénnymi Ni-silikátrmi. Šírka záberu je 20 mm. Foto M. Števko.



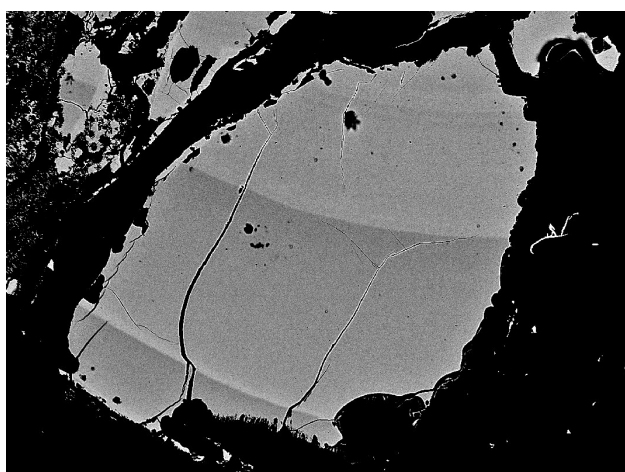
Obr. 12 Zonálne agregáty nikelínu (rôzne odťiene sivej) s úzkymi zónami krutovitu (biele) pozdĺž hraníc kolomorfných agregátov, Dobšiná. Šírka obrázku 2.2 mm, BSE foto J. Sejkora.



Obr. 13 Mierne koncentricky zonálny agregát nikelínu-A (rôzne odťiene sivej) na okraji aggregátu nikelínu (tmavý), Dobšiná. Šírka obrázku 300 µm, BSE foto J. Sejkora.



Obr. 14 Nepravidelné agregáty nikelínu-A (svetlosivé) na okraji aggregátu nikelínu (tmavosivý), Dobšiná. Šírka obrázku 500 µm, BSE foto J. Sejkora.



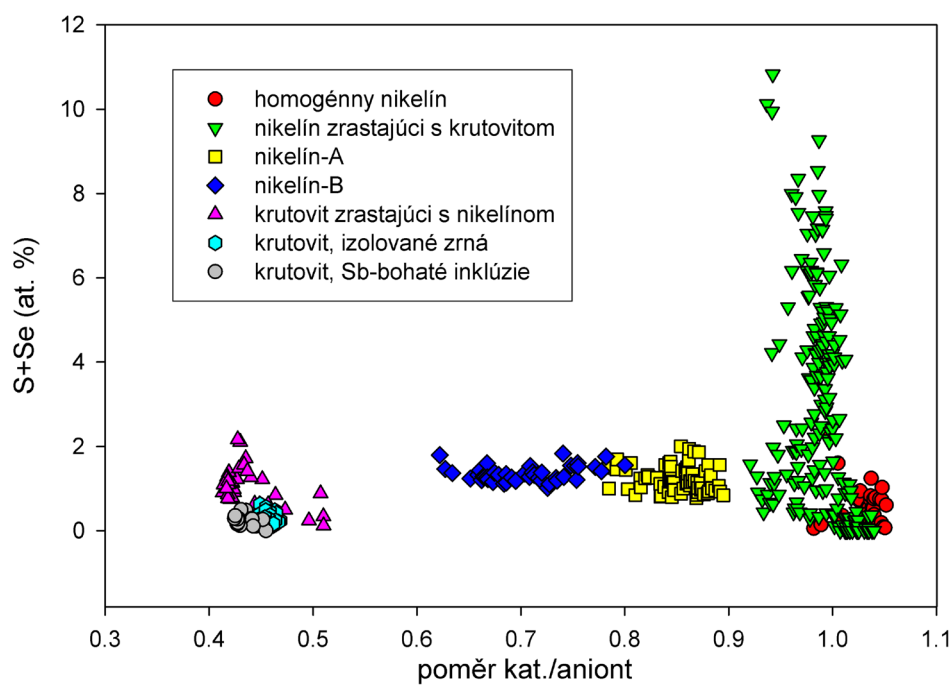
Obr. 15 Zonálny agregát nikelínu-B (rôzne odťiene sivej), v spodnej časti aggregátu je vyvinuta úzka zóna krutovitu (nejsvetlejší), Dobšiná. Šírka obrázku 700 µm, BSE foto J. Sejkora.

ktoré sa zrastajú s krutovitom (tab. 9) je charakteristická výrazná As - S izomorfia (obr. 16 - 17); zistené boli obsahy S až do 5.53 hm. %. Takéto vysoké obsahy S sú pre nikelín neobvyklé, napr. Ondruš et al. (2003) uvádzajú pre nikelín z Jáchymova obsahy S len do 1.59 hm. %; Gritsenko, Spiridonov (2005) zistili v Norilskom rudnom poli obsahy max. do 2.19 hm. % S. Vyššie obsahy S v nikelíne (do 7.95 hm. %) sú známe len z lokality Atrevida v Španielsku (Parviaainen et al. 2008). Pomer *kat/an* sa v tomto type nikelínu z Dobšinej pohybuje v rozmedzí 0.92 - 1.04, lokálne boli zistené aj minoritné obsahy Se (do 0.52 hm. %).

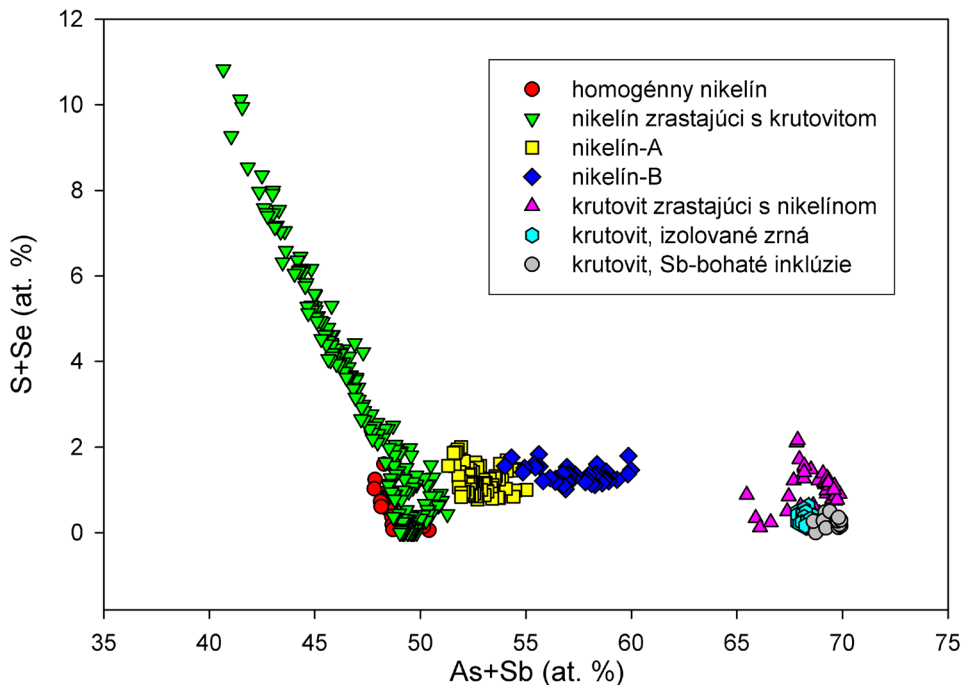
Chemické zloženie nikelínu-A (tab. 10) je neobvyklé (obr. 16 - 17); pomer *kat/an* sa v rozsahu 0.78 - 0.92 dosť odlišuje od ideálnej stechiometrie nikelínu. Vzhľadom k tomu, že na rozdiel od iných Ni(Co)-arzenidov v prípa-

de nikelínu nie je známa významnejšia nestechiometria typu Ni/As, bola v BSE obraze (obr. 13 - 14) za rôznych zväčšení a nastavenia jasu/kontrastu a pod. detailne sledovaná možnosť prítomnosti mikroskopických inkluzií krutovitu, avšak bez výsledku. Detailné štúdium nábrusu v odrazenom svetle (obr. 18 - 19) viedlo k identickému výsledku, naviac je zrejmé, že časť jednotlivých monokryštalických zŕn prechádza hraniciou medzi nikelínom a nikelínom-A. Pre nikelín-B je rozsah deficitu Ni ešte výraznejší (obr. 16 - 17), pomer *kat/an* se pohybuje v rozmedzí 0.62 - 0.80 (tab. 11). Ani v prípade nikelínu-B, ktorý vystupuje v zrastoch s krutovitom, nebola v BSE obraze (rozlišenie cca 1 - 5 μm) a ani pomocou rudnej mikroskopie (rozlišenie cca 0.1 - 1 μm) zistená prítomnosť pozoriteľných zŕn krutovitu alebo iného Ni-arzenidu.

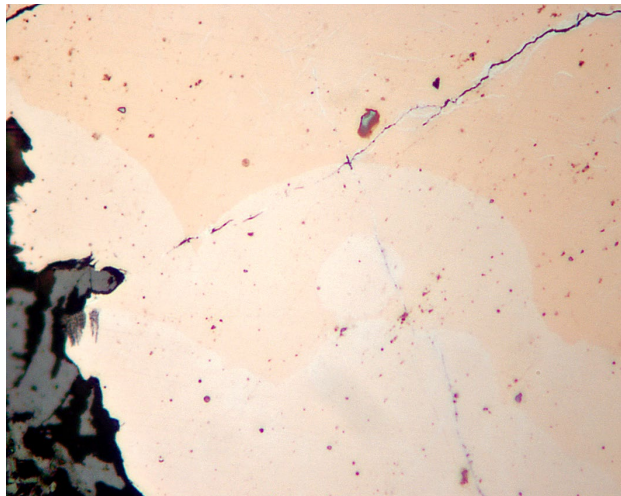
V systéme Ni-As nie je známa žiadna fáza s chemic-



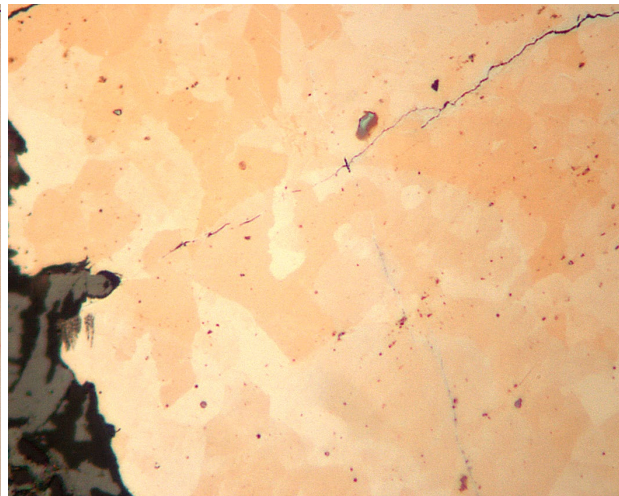
Obr. 16 Graf pomeru katióny/anióny vs. S+Se (at. %) pre nikelín a krutovit z Dobšinej.



Obr. 17 Graf pomeru As+Sb vs. S+Se (at. %) pre nikelín a krutovit z Dobšinej.



Obr. 18 Kolomorfné agregáty nikelínu-A (svetlejšie) zarasajú do nikelínu (tmavší), detail z obrázku 13, Dobšiná. Šírka obrázku 100 µm, foto v odrazenom svetle (bez nikolu) J. Sejkora.



Obr. 19 Identický záber ako na obrázku 18, anizotropiou zdôraznené monokryštalické zrná minimálne čiastečne prechádzajúce hranicou medzi agregátmi nikelín/nikelín-A, Dobšiná. Šírka obrázku 100 µm, foto v odrazenom svetle (čiastočne skrižené nikoly) J. Sejkora.

Tabuľka 11 Reprezentatívne chemické analýzy nikelínu-B z Dobšinej (hm. %)

Ag	0.08	0.00	0.00	0.00	0.00	0.00	0.00	0.00	0.00	0.00	0.00	0.06	0.00	0.00	0.00
Pb	0.00	0.00	0.00	0.00	0.00	0.08	0.08	0.05	0.07	0.00	0.00	0.00	0.08	0.00	0.00
Ni	32.90	33.20	33.82	34.32	34.69	35.66	35.69	35.60	36.30	36.62	37.29	37.16	37.94	38.68	
Co	0.05	0.05	0.00	0.06	0.00	0.00	0.05	0.05	0.06	0.00	0.06	0.00	0.05	0.00	0.00
Cu	0.08	0.06	0.06	0.07	0.05	0.00	0.00	0.07	0.06	0.06	0.00	0.00	0.06	0.06	0.06
Sb	0.00	0.07	0.09	0.00	0.07	0.09	0.08	0.00	0.00	0.00	0.00	0.00	0.00	0.00	0.07
Bi	0.00	0.00	0.00	0.00	0.11	0.00	0.08	0.00	0.15	0.00	0.18	0.00	0.15	0.00	0.00
As	65.87	66.09	64.95	64.65	64.12	63.16	62.61	62.58	61.90	61.17	61.58	61.12	60.12	60.00	
Se	0.46	0.11	0.00	0.16	0.17	0.08	0.26	0.38	0.13	0.49	0.00	0.18	0.35	0.00	
S	0.66	0.65	0.58	0.54	0.58	0.61	0.62	0.50	0.51	0.66	0.73	0.69	0.69	0.74	
total	100.09	100.22	99.49	99.79	99.78	99.69	99.48	99.22	99.17	99.00	99.84	99.19	99.44	99.55	
Ag	0.001	0.000	0.000	0.000	0.000	0.000	0.000	0.000	0.000	0.000	0.000	0.001	0.000	0.000	
Pb	0.000	0.000	0.000	0.000	0.000	0.001	0.001	0.000	0.000	0.000	0.000	0.000	0.000	0.000	
Ni	0.763	0.769	0.788	0.796	0.805	0.825	0.828	0.828	0.844	0.850	0.857	0.859	0.875	0.888	
Co	0.001	0.001	0.000	0.001	0.000	0.000	0.001	0.001	0.001	0.000	0.001	0.000	0.001	0.000	
Cu	0.002	0.001	0.001	0.001	0.001	0.000	0.000	0.001	0.001	0.001	0.000	0.000	0.001	0.001	
Σ Me	0.767	0.771	0.789	0.799	0.806	0.826	0.830	0.831	0.847	0.851	0.859	0.860	0.878	0.889	
Sb	0.000	0.001	0.001	0.000	0.001	0.001	0.001	0.000	0.000	0.000	0.000	0.000	0.000	0.001	
Bi	0.000	0.000	0.000	0.000	0.001	0.000	0.001	0.000	0.001	0.000	0.001	0.000	0.001	0.000	
As	1.197	1.199	1.185	1.176	1.165	1.146	1.138	1.141	1.128	1.112	1.110	1.108	1.086	1.079	
Se	0.008	0.002	0.000	0.003	0.003	0.001	0.004	0.007	0.002	0.009	0.000	0.003	0.006	0.000	
S	0.028	0.027	0.025	0.023	0.025	0.026	0.026	0.021	0.022	0.028	0.031	0.029	0.029	0.031	
Σ An	1.233	1.229	1.211	1.201	1.194	1.174	1.170	1.169	1.153	1.149	1.141	1.140	1.122	1.111	
kat/an	0.622	0.627	0.651	0.665	0.675	0.704	0.709	0.711	0.735	0.741	0.752	0.755	0.782	0.800	

Koeficienty empirického vzorca vypočítané na báze 2 apfu.

kým zložením medzi krutovitom a nikelínom a rozsah Ni /As nestechiometrie nikelínu je v porovnaní s inými Ni-arzenidmi všeobecne veľmi malý. Preto predpokladáme, že fázy nikelín-A a -B, ktoré boli zistené v študovaných vzorkách z Dobšinej predstavujú nikelín so submikrosko-

pickými (pod 0.1 µm) agregátmi krutovitu alebo môže ísť o výsledok difúzie As-bohatších fluíd do nikelínu v súvislosti s procesom postupného zatláčania nikelínu krutovitom (viz obr. 7).

Galenit

Galenit patrí v študovanej minerálnej asociácii k hojným minerálom. Vyskytuje sa v podobe až 1 cm veľkých, nepravidelných agregátov a žiliek s olovenosivou farbou, výrazným kovovým leskom a charakteristickou štiepatelnosťou (obr. 11) v asociácii spolu s nikelínom alebo s amfibolom ako relikty v masívnych agregátoch supergénnych sýtozelených až smaragdovo-zelených Ni-silikátov. Často je intenzívne zatláčaný supergénnym anglesitom a mimititom, preto ani nie je možné stanoviť jeho genetický vzťah k nikelínu a krutovitu.

Chemické zloženie galenitu (tab. 12) je relatívne jednoduché, zistené boli len minoritné obsahy Sb, Bi, As a Se; napriek výskytu v asociácii s nikelínom a krutovitom študovaný galenit neobsahuje Ni.

Tabuľka 12 Chemické zloženie galenitu z Dobšinej (hm. %)

	mean	1	2	3
Pb	87.76	87.98	87.50	87.78
Sb	0.12	0.37	0.00	0.00
Bi	0.06	0.06	0.11	0.00
As	0.16	0.07	0.14	0.28
Se	0.02	0.00	0.00	0.06
S	13.46	13.44	13.28	13.67
total	101.58	101.92	101.03	101.79
Pb	1.000	1.001	1.007	0.992
Sb	0.002	0.007	0.000	0.000
Bi	0.001	0.001	0.001	0.000
Σ Me	1.003	1.009	1.008	0.992
As	0.005	0.002	0.004	0.009
Se	0.001	0.000	0.000	0.002
S	0.991	0.989	0.987	0.998
Σ An	0.997	0.991	0.992	1.008
Koeficienty empirického vzorca vypočítané na bázu 2 apfu.				

Záver

V opustenom serpentinitovom lome na lokalite Dobšiná-Teliatko bola zistená žilná hydrotermálna mineralizácia s krutovitom, nikelínom a galenitom, ktorá sa geologickou pozíciou a najmä parageneticky (dominantné zastúpenie nikelínu, hojný výskyt galenitu, absencia sideritu a iných karbonátov s obsahom Fe) výrazne odlišuje od klasických Ni-Co žíl v oblasti Dobšinej. Študovaný krutovit má stabilné chemické zloženie blízke teoretickému vzorcu $Ni_{1-x}As_2$ a len lokálne boli zistené zvýšené obsahy Sb, Se a Hg. Chemické zloženie nikelínu je prevažne jednoduché a fázy s vyšším obsahom As (nikelín-A a -B) reprezentujú najpravdepodobnejšie mikrozrasty nikelínu s geneticky mladším krutovitom, ktorý nikelín často zatláča.

Podakovanie

Predložená práca vznikla za finančnej podpory Ministerstva kultúry ČR v rámci inštitucionálneho financovania dlhodobého koncepcného rozvoja výskumnej organizácie Národní muzeum (DKRVO 2013/02, 00023272) a Agentúry na podporu výskumu a vývoja na základe zmluvy č. APVV VVCE-0033-07.

Literatúra

- Ansermet S., Meisser N. (2012) Mines et minéraux du Valais- II. Anniviers et Tourtemagne. 1-374, *Ressolis, Bussigny*.
- Duďa R. (1990) Nikelín z Dobšinej (azbestový lom). *Miner. Slov.* 22, 5, 474.
- Duďa R., Peterec D. (1992) Vzácne sekundárne minerály olova z Dobšinej. *Zbor. Východoslov. Múz. v Košiciach, Prír. Vedy* 32-33, 193-199.
- Fediuková E., Hovorka D., Greguš J. (1976) Compositional zoning of andradite from serpentinite at Dobšiná (West Carpathians). *Věst. Ústř. Úst. geol.* 51, 339-345.
- Gerville F., Fanlo I., Colás V., Subías I. (2012) Mineral compositions and phase relations of Ni-Co-Fe arsenide ores from the Aghbar mine, Bou Azzer, Morocco. *Can. Mineral.* 50, 2, 447-470.
- Gritsenko J. D., Spiridonov E. M. (2005) Minerals of the nickeline-breithauptite series from metamorphogenic-hydrothermal veins of the Norilsk ore field. *New data on Minerals* 40, 51-64.
- Gritsenko J. D., Spiridonov E. M. (2006) Sulfoarsenidy i sulfoantimonidy nikelia, kobalta, železa i krutovit metamorfogenno-gidrotermalnych karbonatnych žíl Norilskogo rudnovo polja. *New data on Minerals* 41, 46-55.
- Hovorka D., Dubíková K., Gerthofferová H., Šamajová E., Turan J. (1980) Serpentine-group minerals of the Western Carpathians ultramafics. I.- Bodies of the Germeride Mesozoic. *Miner. Slov.* 12, 6, 481-505.
- Hovorka D., Ivan P., Jaroš J., Kratochvíl M., Reichwalder P., Rojkovič I., Spišiak J., Turanová L. (1985) Ultramafic rocks of the Western Carpathians, Czechoslovakia. 1-258, *Geol. úst. D. Štúra, Bratislava*.
- Chovan M. (1995) Zonálne arzenidy Ni, Co a Fe z Dobšinej v gemeriku Západných Karpát. In: *Struktury a textury minerálů, Banský Studenec*, 83-85.
- Chovan M., Ozdín D. (2003) Chemical composition of Ni, Co and Fe sulphoarsenides and arsenides in siderite veins in the Western Carpathians (Slovakia). *Acta Min.-Petr., Abstract Series* 1, 19.
- Ivan P. (2002) Relics of the Meliata Ocean crust: Geodynamic implications of mineralogical, petrological and geochemical proxies. *Geol. Carpath.* 53, 4, 245-256.
- Ivan P., Méres Š. (2009) Enkláva metamorfitu fácie modrých bridlic v dobšinskem serpentinitovom lome - dôkaz spojitosťi ultrabázického telesa s hačavskou formáciou príkrovu Bôrky. *Miner. Slov.* 41, 4, 407-418.
- Jaroš J., Kratochvíl M., Zlocha J. (1981) Drobnoštrukturálna analýza vnútornnej stavby serpentinitových telies v Spišsko-gemerskom rudoohorí. *Miner. Slov.* 13, 6, 527-548.
- Kamenický J. (1957) Serpentinity, diabázy a glaukofanické horniny triasu Spišsko-gemerského rudoohoria. *Geol. Práce, Zoš.* 45, 5-108.
- Kantor J. (1955) Rudné minerály spišsko-gemerských serpentinitov (awaruit, heazolewoodit atď.). *Geol. Sbor. Slov. Akad. Vied* 6, 3-4, 302-318.
- Mello J., Filo I., Havrla M., Ivan P., Ivanička J., Madaras J., Németh Z., Polák M., Pristaš J., Vozárová A., Liščák P., Kuboš P., Scherer S., Siráňová Z., Szalaiarová V., Žáková E. (2000) Vysvetlivky ku geologickej mape Slovenského raja, Galmusu a Hornádskej kotlinky 1: 50 000. ŠGÚDŠ, Bratislava, 1-303.

- Mikuš T., Spišiak J. (2007) Chemical composition and alteration of Cr-spinels from Meliata and Penninic serpentinitized peridotites (Western Carpathians and Eastern Alps). *Geol. Quart.* 51, 3, 257-270.
- Munson R. A. (1968) The synthesis of iridium disulfide and nickel diarsenide having the pyrite structure. *Inorg. Chem.* 7, 2, 389-390.
- Nimis P., Zaykov V. V., Omenetto P., Melekestseva I. Y., Tesalina S. G., Orgeval J. J. (2008) Peculiarities of some mafic-ultramafic- and ultramafic-hosted massive sulfide deposits from the main Uralian Fault Zone, southern Urals. *Ore Geol. Rev.* 33, 1, 49-69.
- Ondruš P., Veselovský F., Gabašová A., Hloušek J., Šrein V., Vavřín I., Skála R., Sejkora J., Drábek M. (2003) Primary minerals of the Jáchymov ore district. *J. Czech Geol. Soc.* 48, 3-4, 19-147.
- Ozdín D., Chovan M. (1999) New mineralogical and paragenetic knowledge about siderite veins in the vicinity of Vyšná Boca, Nízke Tatry Mts. *Slovak Geol. Mag.* 5, 4, 255-271.
- Ozdín D., Števko M. (2010) Unikátny výskyt achátov v serpentinizovaných peridotitech v Dobšinej. *Minerál* 18, 4, 331-335.
- Parviaainen A., Gervilla F., Melgarejo J. C., Johanson B. (2008) Low-temperature, platinum-group elements-bearing Ni arsenide assemblage from the Atrevida mine (Catalan Coastal Ranges, NE Spain). *N. Jb. Mineral. Abh.* 181, 1, 33-49.
- Pekov I. V., Levitskiy V. V., Krivovichev V. G. (2010) Mineralogy of the Belorechenskoye deposit (Northern Caucasus, Russia). *Mineralogical Almanac* 15, 2, 1-96.
- Pouchou J. L., Pichoir F. (1985) "PAP" (ϕpZ) procedure for improved quantitative microanalysis. In: *Microbeam Analysis* (J. T. Armstrong, ed.). San Francisco Press, San Francisco, 104-106.
- Putiš M., Koppa M., Snárska B., Koller F., Uher P. (2012) The blueschist-associated perovskite-andradite-bearing serpentinitized harzburgite from Dobšiná (the Meliata Unit), Slovakia. *J. Geosci.* 57, 4, 221-240.
- Rojkovič I., Hovorka D., Krištín J. (1978) Spinel group minerals in the West Carpathians ultrabasic rocks. *Geol. Zbor. Geol. Carpath.* 29, 2, 253-274.
- Spiridonov E. M., Čvileva T. N. (1996) On the boundary between gersdorffite NiAsS and krutovite NiAs_2 . *Dokl. Earth Sci. Sect.* 344, 7, 119-123.
- Vinogradova R. A., Budashevskiy N. S., Buďko I. A., Boček L. I., Kašpar P., Paděra K. (1976) Krutovit - nový kubičeský diarsenid nikelja. *Zap. Vses. mineral. Obshch.* 105, 1, 59-71.
- Vinogradova R. A., Budashevskiy N. S., Buďko I. A., Boček L. I. (1978) First krutovite find in the USSR. *Dokl. Earth Sci. Sect.* 230, 1, 148-150.
- Vinogradova R. A., Kononkova N. N., Boček L. I., Obraztsov B. V., Azizi S. M. R., Maacha L. (1999) A find of Se-bearing krutovite in arsenic-cobalt ores from the Bou Azzer mining district, Morocco. *Dokl. Earth Sci. Sect.* 365, 2, 181-183.
- Zaikov V. V., Melekestseva I. Y. (2006) The Ishkinino Co-Cu Massive Sulfide Deposit Hosted in Ultramafic Rocks of the Main Ural Fault Zone, the Southern Urals. *Geol. Ore Deposit* 48, 3, 151-174.
- Zlocha J., Hovorka D. (1971) Chryzotilový azbest v Západných Karpatoch. *Miner. Slov.* 3, 12-13, 295-318.